

УДК 535.41

З. Иманкулов, Н. С. Убайдуллаева, А. Н. Якубов

(Ташкент, Узбекистан)

## ИЗМЕРЕНИЕ РАЗНОСТИ ФАЗ ДВУХ КВАНТОВЫХ ПОЛЕЙ

Рассмотрена проблема измерения операторов разности фаз двух когерентных полей. Показано, что для определения среднего значения оператора, соответствующего в классическом пределе косинусу разности фаз двух колебаний, в квантовой области ( $\langle n \rangle \ll 1$ ) можно с хорошей степенью точности ограничиться корреляционными измерениями первого и второго порядков.

Нахождение амплитудно-фазовых характеристик электромагнитного излучения в квантовом пределе сопряжено с рядом трудностей, связанных как с самой природой процесса регистрации полей, так и со спецификой оптического детектирования, ограничивающего наблюдаемые величины лишь операторами определенной структуры. Квазиклассическое приближение, при котором фазовые переменные связываются с аргументами парциальных комплексных амплитуд, оказывается неудовлетворительным при низких интенсивностях регистрируемых сигналов, когда когерентные состояния нельзя считать ортогональными даже приближенно. Данная ситуация возникает в интерферометрических измерениях сигналов сверхнизких интенсивностей [1, 2] и при корреляционной регистрации таких изображений [3—5]. В этой связи при анализе фазовой проблемы в квантовой оптике было предложено несколько методов, один из которых основан на введении самосопряженных эрмитовых операторов  $C$  и  $S$  [6], соответствующих косинусу и синусу фазового угла  $\varphi$  полевого осциллятора:

$$C = \frac{1}{2}(E^- + E^+), \quad S = \frac{1}{2i}(E^- - E^+), \quad (1)$$

а также операторов  $C_{12}$  и  $S_{12}$ , соответствующих косинусу и синусу разности фаз колебаний двух независимых осцилляторов:

$$C_{12} = C_1 C_2 + S_1 S_2 = \frac{1}{2}(E_1^- E_2^+ + E_1^+ E_2^-), \quad (2)$$

$$S_{12} = S_1 C_2 - S_2 C_1 = \frac{1}{2i}(E_1^- E_2^+ - E_1^+ E_2^-),$$

где  $E^- = (N + 1)^{-1/2} a^-$  и  $E^+ = (N + 1)^{-1/2} a^+$  — операторы сдвига в гильбертовом пространстве  $H_0$  чисел заполнения;  $a^+$  и  $a^-$  — операторы рождения и уничтожения;  $N = a^+ a^-$  — оператор числа фотонов. В ряде работ [7—9] с помощью этих операторов рассматривалась методика вычислений фазовых характеристик оптических полей, найдены их основные статистические свойства.

В пределах неограниченного гильбертова пространства невозможно построить эрмитовый оператор фазы, соответствующий гармоническому осциллятору. Поэтому авторы [10] предложили другую модель одномодового электромагнитного поля, которая включает произвольное ограниченное пространство  $\Psi$ , размеры которого могут увеличиваться лишь после вычисления

физического результата. Такое представление [11, 12] физически идентично обычному гармоническому осциллятору, однако оно допускает существование эрмитового оператора фазы (и его унитарного преобразования), который имеет следующий вид:

$$\Phi = \theta + \frac{s\pi}{s+1} + \frac{2\pi}{s+1} + \sum_{n=n'} \frac{\exp[i(n'-n)\theta] |n'\rangle \langle n|}{\exp[i(n'-n)2\pi/(s+1)] - 1}, \quad (3)$$

где  $\theta$  — фаза осциллятора, соответствующая выбранным пространственно-временным координатам;  $|n\rangle$  — состояние с  $(s+1)$  числом фотонов, которое охватывает  $(s+1)$ -мерное пространство  $\Psi$ .

Другой подход, называемый «операционным» [13], заключается в анализе результатов экспериментов по гомодинной регистрации числа фотонов на выходе интерферометра. При этом получается эмпирическое выражение для операторов разности фаз между двумя детектируемыми полями:

$$\begin{aligned} C_M &= (n_4 - n_3) [(n_4 - n_3)^2 + (n_6 - n_5)^2]^{-1/2}, \\ S_M &= (n_6 - n_5) [(n_4 - n_3)^2 + (n_6 - n_5)^2]^{-1/2}, \end{aligned} \quad (4)$$

где  $n_4 - n_3 = i(a_2^+ a_1^- - a_1^+ a_2^-)$  и  $n_6 - n_5 = -(a_2^+ a_1^- + a_1^+ a_2^-)$  — операторы разности числа фотонов на выходах интерферометра. Динамические переменные  $C_M$  и  $S_M$  коммутируют лишь в том случае, если их измерения производятся одновременно. Исследования [14, 15] показали, что различные схемы измерения приводят к разным выражениям для  $C_M$  и  $S_M$  и возможны другие универсальные динамические переменные, соответствующие фазе электромагнитного поля.

Следует заметить, что вышеизложенные подходы в случае слабых полей приводят к значительным расхождениям вычисляемых средних значений и дисперсий фазы, хотя для состояний с большим числом фотонов они совпадают. Поэтому необходимо согласовать формальное математическое удобство введения фазовых операторов с возможностью экспериментального наблюдения. Хотя операторы  $C$  и  $S$  являются динамическими переменными (формально измеримы в квантово-механическом смысле), их действительное определение затруднено специфичностью оптических измерений, где основной величиной является нормально упорядоченная по операторам  $a^+$  и  $a^-$  корреляционная функция  $G^{(n,n)}(x_1, \dots, x_{2n})$ . Это обстоятельство, видимо, ограничивало предыдущие работы исследованиями, касающимися в основном теоретической части данной проблемы. Кроме того, используемые методы измерения фазы в квантовом пределе используют прямое или гомодинное детектирование числа фотонов. При этом модулированный сигнал может подвергаться дополнительному шуму в виде флуктуаций интенсивности, относительный уровень которого зависит также от состояния поляризации излучения. Это приводит к значительному разбросу в ансамбле значений измеряемой разности фаз и как следствие к разным средним значениям оператора разности фаз. В данной работе предлагается метод определения среднего значения оператора  $C_{12}$ , основанный на использовании корреляционных функций первого и второго порядков.

Задача фазовых измерений в квантовом пределе сводится [7, 14] к определению среднего значения оператора разности фаз  $\langle C_{12} \rangle$ . Прямой метод вычисления  $\langle C_{12} \rangle$ , основанный на разложении  $|\Psi\rangle$  по функциям  $|n, \cos\theta\rangle$ , ничего не дает для построения процедуры таких измерений, поскольку не существует прибор, оценивающий непосредственно  $\cos\theta$ . Поэтому в [16] был предложен другой подход, в котором  $C_{12}$  представляется в нормально упорядоченной форме по операторам рождения и уничтожения:

$$C_{12} = \sum_{n,m=0}^{\infty} B_{nm} [(a_1^+)^{n+1} a_1^- (a_2^+)^m a_2^{m+1} + (a_1^+)^n a_1^{n+1} (a_2^+)^{m+1} a_2^m], \quad (5)$$

где

$$B_{nm} = \frac{1}{2} \sum_{l=0}^n \sum_{k=0}^m \frac{(-1)^{k+l}}{[(n-l+1)(m-k+1)]^{1/2} (n-l)!(m-l)!}. \quad (6)$$

Анализ выражения (5) показывает, что непосредственное измерение  $\langle C_{12} \rangle$  требует определения корреляционных функций суперпозиционного поля бесконечно высокого порядка. В обычных статистических экспериментах при линейных преобразованиях полей измерение корреляционных функций, необходимых для определения  $\langle C_{12} \rangle$ , к сожалению, невозможно. Использование же нелинейных преобразований, хотя в принципе и позволяет проводить подобные измерения, но в общем случае сопряжено со значительными трудностями. Если, однако, ограничиться предельным случаем малых интенсивностей ( $n \ll 1$  для каждой из мод), то практически для всех осуществимых реализаций поля излучения измерение  $\langle C_{12} \rangle$  может быть с достаточной точностью выполнено и методами линейной оптики. Для осуществления этого необходимо произвести унитарное преобразование полевых операторов  $a_1$  и  $a_2$  [17]:

$$b_+ = \frac{1}{\sqrt{2}} (a_1^- + a_2^-), \quad b_- = \frac{1}{\sqrt{2}} (a_1^- - a_2^-). \quad (7)$$

В физическом смысле это преобразование эквивалентно повороту координатной системы и практически может быть выполнено разделением пучка на две ортогонально поляризованные компоненты, направления поляризации которых сдвинуты на  $\pm\pi/4$  по отношению к исходным. В новых переменных  $b_+$  и  $b_-$  выражение для  $C_{12}$  можно записать:

$$C_{12} = \sum_{k=0}^{\infty} \frac{1}{2^{k+1}} \sum_{n=0}^{\infty} B_{n, k-n} \left\{ \sum_{p=0}^{n-1} \sum_{q=0}^{k-n} \sum_{r=0}^n \sum_{s=0}^{k-n+1} \binom{n+1}{p} \binom{k-n}{q} \binom{n}{r} \times \right. \\ \left. \times \binom{k-n+1}{s} (-1)^{q+s-1} (b_+^+)^{q+p} (b_-^+)^{k+1-q-p} b_+^{r+s} b_-^{k+1-r-s} + \text{ЭС} \right\}. \quad (8)$$

Производя усреднение по матрице плотности начального состояния

$$\rho = \int P(a_1, a_2) |a_1, a_2\rangle \langle a_1, a_2| d^2 a_1 d^2 a_2, \quad (9)$$

находим

$$\langle C_{12} \rangle = B_{00} [G_+^{(1,1)} - G_-^{(1,1)}] + B_{10} [G_+^{(2,2)} - G_-^{(2,2)}] + R, \quad (10)$$

где  $G_{\pm}^{(1,1)} = \langle b_{\pm}^+ b_{\pm} \rangle$ ,  $G_{\pm}^{(2,2)} = \langle (b_{\pm}^+)^2 b_{\pm}^2 \rangle$ , а слагаемое  $R$  при  $\langle n_1 \rangle \approx \langle n_2 \rangle \approx \langle n \rangle$  оценивается как  $R \sim \langle n \rangle^3$ . Первый член в (10) совпадает с выражением корреляционной функции первого порядка для преобразованных волн. Второй член (10) описывает корреляции интенсивностей колебаний  $b_+$  и  $b_-$ . Следовательно, значение  $\langle C_{12} \rangle$  может быть определено с помощью измерений по методам корреляционной интерферометрии.

Практическая реализация вышеизложенного была осуществлена с помощью экспериментов по схеме, изображенной на рис. 1. Излучения сигнальной и опорной мод, которые были поляризованы линейно и ортогонально друг другу, смешиваются на полупрозрачном зеркале  $B1$ , в результате чего образуются два эллиптически поляризованных луча, параметры эллиптичности которых определяются разностью фаз  $\Delta\varphi$  между модами. Поляризаторы  $P1$  и  $P2$ , оси которых ориентированы под углом  $\pm\pi/4$  по отношению к поляризации одного из лучей, преобразуют информацию о разности фаз двух колебаний в модуляцию интенсивности. Ортогонально поляризованные компоненты излу-

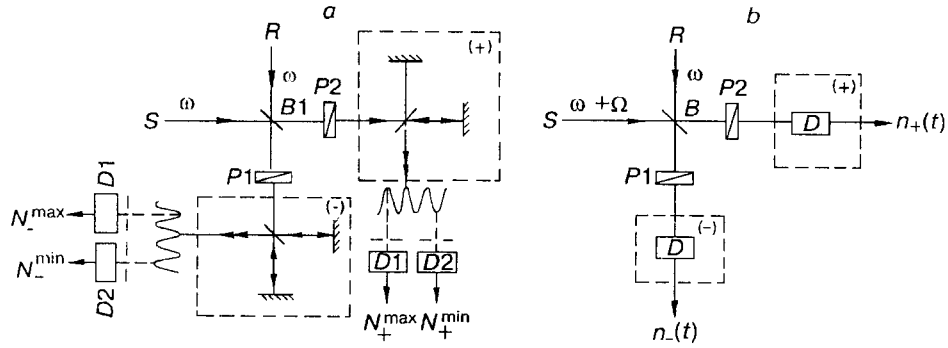


Рис. 1. Оптическая часть эксперимента по измерению корреляционных функций первого (а) и второго (б) порядков

чения, формируемые на выходах  $P1$  и  $P2$ , поступали соответственно на каналы (+) и (-) интерферометра.

Корреляционная функция первого порядка регистрировалась (рис. 1, а) как видность  $V$  интерференционной картины, формируемой на выходе интерферометра. Процесс измерений заключался в следующем. Для однозначного соответствия  $G^{(1,1)}$  и  $V$  интенсивности излучений в обоих плечах каналов (+) и (-) устанавливались одинаковыми. Затем производилось статистическое усреднение фотоотсчетов, фиксируемых за время выборки  $T = 1$  мкс фотодетекторами  $D1$  и  $D2$  соответственно в максимуме и минимуме интерференционной картины, и определялись величины  $N_+^{\max}$  и  $N_+^{\min}$ . Эти значения использовались при вычислении корреляционной функции первого порядка:

$$G_{\pm}^{(1,1)} = V = \frac{N_{\pm}^{\max} - N_{\pm}^{\min}}{N_{\pm}^{\max} + N_{\pm}^{\min}} W, \quad (11)$$

где параметр  $W$  определяется в виде

$$W = \frac{\pi\delta/\Lambda}{\sin(\pi\delta/\Lambda)}. \quad (12)$$

Здесь  $\Lambda$  — пространственный период интерференционной картины, определяемый геометрией эксперимента;  $\delta$  — ширина щелевой апертуры, устанавливаемой перед фотодетектором. В ходе экспериментов их значения были равны  $\Lambda \approx 1$  и  $\delta \approx 0,5$  мм.

При измерении корреляционной функции второго порядка (рис. 1, б) частота одного из полей сдвигалась на величину  $\Omega = 25$  кГц и за время выборки  $T \ll 1/\Omega$  детектировалось число фотонов  $n(t, T)$  в обоих каналах интерферометра. Корреляционная функция второго порядка из таких выборок фотоотсчетов получалась использованием временной корреляции с сигналом  $S(t)$ , имеющим фиксированные фазу и частоту  $\Omega$ , т. е.

$$G(\tau) = \langle S(t)n(t + \tau, T) \rangle \sim \langle S(t)I(t + \tau) \rangle, \quad (13)$$

где

$$I(t) = I_S + I_R + 2\sqrt{I_S I_R} \cos(\Omega t + \Delta\varphi), \quad (14)$$

$\Delta\varphi$  — разность оптических фаз между ними. В качестве сигнала  $S(t)$  использовалась последовательность  $\delta$ -импульсов, синхронная с несмещенными

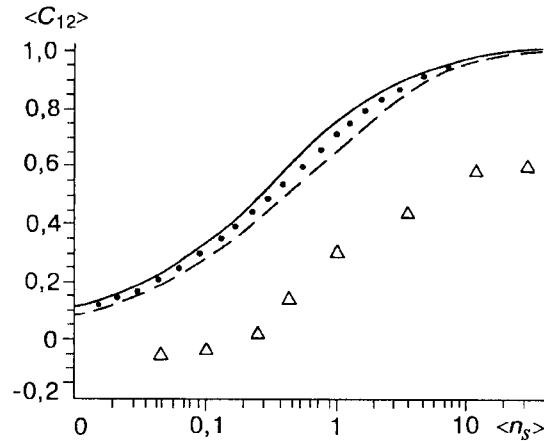


Рис. 2. Измеренные средние значения оператора разности фаз ( $\Delta$ ) для разных средних чисел фотонов в сигнальном поле при  $\langle n_R \rangle = 3$ , а также графики, соответствующие средним значениям операторов: Сусскинда и Глоговера (сплошная кривая), Пегга и Барнетта (штриховая), Манделя и др. (пунктирная)

бияниями на частоте  $\Omega$ . При обработке фотоотсчетов из последовательно полученных  $M$  выборок корреляционная функция определялась в виде [18]

$$G_{\pm}^{(2,2)} = G_m = \sum_{k=0}^{(M/q)-1} n_{kq+m}, \quad (15)$$

где величина  $q = 1/\Omega T$  определяет количество выборок на период модуляции. Выражение (15) представляет собой просто отбор из статистического процесса регистрации потока фотонов, и любое  $m$ -е значение  $G_m$  есть сумма чисел фотоотсчетов с интервалом  $q$  и сдвигом  $m$  всей последовательности выборок. Время выборки коррелятора составляло  $T = 1$  мкс, соответствуя 40 отсчетам на периоде биений. Коррелятор был реализован на модулях памяти в стандарте КАМАК, запись в которые производилась синхронно с реперными импульсами сигнала  $S(t)$ . Накопленные наборы передавались для обработки в компьютер.

Полученные таким образом значения  $G_{\pm}^{(1,1)}$  и  $G_{\pm}^{(2,2)}$  использовались для вычисления среднего значения оператора  $\langle C_{12} \rangle$  при помощи соотношения (10). На рис. 2 показаны средние значения оператора разности фаз, полученные при разных средних значениях фотонов ( $\langle n_s \rangle$ ), детектируемых за время выборки  $T$  в сигнальном поле. Интенсивность опорного поля при этом соответствовала  $\langle n_R \rangle = 3$ . На рисунке приведены графики, соответствующие другим формализмам представления фазовых операторов. Наблюдаемое отличие измеренных значений  $\langle C_{12} \rangle$  обусловлено неодинаковой интенсивностью сигнального и опорного полей, а также фазовыми сдвигами при прохождении световых пучков через светоделитель  $B1$  и отражении в нем. Однако сама зависимость среднего значения оператора разности фаз от среднего числа фотонов хорошо согласуется с результатами [7, 10, 14].

Таким образом, проведенные статистические эксперименты с унитарным преобразованием двухмодового когерентного поля показали принципиальную возможность определения среднего значения оператора разности фаз по измерениям корреляционных функций первого и второго порядков. Данный метод может быть применен также к другим полям, что дает возможность экспериментальной проверки различных формализмов представления фазы квантового поля без изменения принципиальной схемы эксперимента.

## СПИСОК ЛИТЕРАТУРЫ

1. Godzinski Z. Investigations of light interference at extremely low intensities // *Phys. Lett. A*. 1991. 153, N 6. 7. P. 291.
2. Okoshi T., Hirose A., Kimura K. A simple experiment elucidating the duality of light as wave and photon // *Opt. Commun.* 1989. 72, N 1, 2. P. 7.
3. Hu Y., Marathay A. S., Idell P. S. Object reconstruction with intensity correlations; signal-to-noise ratio calculation // *Proc. Soc. Photo-Opt. Instrum. Eng.* 1990. 1351. P. 600.
4. Ayers G. R., Dainty J. C., Northcott M. J. Photon limited imaging through turbulence // *Proc. Soc. Photo-Opt. Instrum. Eng.* 1987. 808. P. 19.
5. Schulz T. J., Snyder D. Z. Image recovery from correlations // *JOSA*. 1992. 9, N 6. P. 1266.
6. Carruthers P., Nieto M. The variable phase-angle in quantum mechanics // *Rev. Mod. Phys.* 1968. 40, N 2. P. 411.
7. Gerhardt H., Buchler U., Litfin G. Phase measurement of a microscopic radiation field // *Phys. Lett.* 1974. 49A, N 2. P. 119.
8. Nieto M. Phase-difference operator analysis of microscopic radiation-field measurements // *Phys. Lett.* 1977. 60A, N 5. P. 401.
9. Mendas I., Popovic D. B. Number-phase uncertainty product for displaced number states // *Phys. Rev. A*. 1994. 50, N 2. P. 947.
10. Pegg D. T., Barnett S. M. Phase properties of the quantized single-mode electromagnetic field // *Phys. Rev.* 1989. 39, N 4. P. 1665.
11. Gerry C. C., Urbanski K. E. Hermitian phase-difference operator analysis of microscopic radiation-field measurements // *Phys. Rev. A*. 1990. 42, N 1. P. 662.
12. Lynch R. Fluctuation of the Barnett — Pegg phase operator in a coherent state // *Phys. Rev. A*. 1990. 41, N 5. P. 2841.
13. Noh J. W., Fougères A., Mandel L. Measurement of the quantum phase by photon counting // *Phys. Rev. Lett.* 1991. 67, N 11. P. 1426.
14. Noh J. W., Fougères A., Mandel L. Further investigation of the operationally defined quantum phase // *Phys. Rev. A*. 1992. 46, N 5. P. 2840.
15. Noh J. W., Fougères A., Mandel L. Operational approach to the phase of a quantum field // *Phys. Rev. A*. 1992. 45, N 1. P. 424.
16. Дерюгин И. А., Вишенский А. А., Курашов В. Н. Некоторые свойства фазовых операторов в квантовой оптике // *Изв. вузов. Физика*. 1972. № 12. С. 44.
17. Вишенский А. А., Дерюгин И. А., Курашов В. Н. К вопросу о фазовых измерениях в квантовой оптике // *Оптика и спектроскопия*. 1975. 38, вып. 4. С. 751.
18. Walker J. S. Phase measurement by photon correlation interferometry // *Opt. Acta*. 1986. 33, N 1. P. 45.

*Поступила в редакцию 28 июня 1996 г.*